

Алгоритмы слепого разделения источников в пакетном режиме[§]

Д. В. Савостьянов[®]

При анализе числовых данных, изменяющихся во времени, часто есть основания считать, что наблюдаемые последовательности с достаточной точностью могут быть выражены линейными комбинации нескольких независимых компонент. Задача отыскания независимых компонент по заданной смеси называется слепым разделением сигналов. Для ее решения разработано множество методов, которые можно отнести к одному из двух классов — методы, использующие в процессе расчета весь массив данных целиком, и методы, основанные на диагонализации статистик, полученных по исходным данным. В этой статье мы показываем, что только методы второго типа допускают «пакетный» режим обработки данных, то есть могут эффективно применяться в случае, когда сигналы не могут храниться в доступной оперативной памяти во время проведения расчета.

1. Введение

1.1. История задачи. Возможно, наиболее классическим примером задачи, для решения которой требуется разделить наблюдаемые числовые последовательности на набор независимых источни-

[§]Работа выполнена при поддержке грантов РФФИ 05-1-00721, 06-01-08052 и Программы приоритетных фундаментальных исследований Отделения математических наук РАН «Вычислительные и информационные проблемы решения больших задач» по проекту «Матричные методы и технологии для задач со сверхбольшим числом неизвестных».

[®]Институт вычислительной математики РАН

ков, является «задача о вечеринке». На шумной вечеринке, где одновременно разговаривает множество людей, человек может концентрировать внимание на беседе с товарищем и игнорировать речь всех остальных; однако услышав из дальнего конца зала свое имя, он распознает его и реагирует на призыв. Эта психофизическая способность была впервые описана в 1953 году Колином Черри [1], изучавшим проблемы, встающие перед диспетчерами крупных аэропортов, когда приходящие сообщения от нескольких пилотов смешиваются в динамике. В своей статье Черри заключил, что «способность разделять звуки и игнорировать посторонние шумы основана на характеристиках звука, таких как тон говорящего, направление, с которого приходит звук, высота звука, частота речи». Таким образом было сформулировано предположение о том, что мозг разделяет поступающую смесь звуковых сигналов, основываясь на различии в структуре исходных компонент. Механизм разделения сигналов в человеческом мозге до сих пор не изучен полностью, однако алгоритмы решения родственных задач с помощью компьютеров нашли широкое применение в области цифровой обработки сигналов, где и получили название методов (слепого) разделения сигналов. На их основе решается множество практических задач в самых различных областях:

- медицинское исследование функций мозга на основе данных магнитной энцефалографии, магнитно-резонансной томографии или спектроскопии (см., напр. [2, 3, 4, 5, 6]);
- развитие методов передачи информации через MIMO (multi-input multi-output) каналы (см., напр. [7, 8, 9]);
- анализ смесей в химии и спектрографии (см. обзор [10]);
- исследование числовых рядов в финансовой математике [11, 12], социологии, статистике, при анализе спроса;
- контроль транспортных и производственных процессов;
- мультимедийные приложения, распознавание текстов и изображений [13, 14].

Математическая постановка задачи во всех этих приложениях весьма схожа и довольно проста: предполагается, что наблюдаемые источники $y_i(t)$, $i = 1, \dots, m$, линейно выражаются через независимые компоненты $x_j(t)$, $j = 1, \dots, n$. Не ограничивая общности, можно считать, что и те, и другие имеют нулевое среднее. В матрично-векторной записи

$$y(t) = Ax(t) + \xi(t), \quad (*)$$

векторы $y(t)$ и $x(t)$ называются соответственно векторами сигналов и источников, матрица A называется *смешивающей* и предполагается не зависящей от параметра t (дискретного или непрерывного), называемого временем. В наиболее общем случае никакой априорной информации о матрице A и характеристиках источников $x_i(t)$ не имеется — тогда говорят о методах *слепого разделения* сигналов (blind source separation, BSS), которым и посвящена наша статья. Компоненты вектора *шума* $\xi_i(t)$ полагаются независимыми и, как правило, нормально распределенными. Источники $x_i(t)$ предполагаются *независимыми*, однако при решении задачи о разделении сигналов это условие может быть по-разному использовано и отображено на алгоритм.

1.2. Классификация существующих методов решения. В простейшем случае независимость сигналов формулируется как их некоррелированность, то есть диагональность матрицы $E[x(t)x^*(t)]$, где $E[\cdot]$ — осреднение по времени. Тогда можно записать (для простоты изложения полагаем, что шумов нет)

$$\Phi_y = E[y(t)y^*(t)] = E[Ax(t)x^*(t)A^*] = A E[x(t)x^*(t)] A^* = ADA^*,$$

учитывая, что A не зависит от времени. Таким образом, A можно определить через решение задачи диагонализации матрицы ковариации. Один ответ очевиден — построить собственное разложение $\Phi_y = U\Lambda U^*$ и использовать в качестве A матрицу собственных векторов, а в качестве D — собственные значения Λ . Это решение не единственно (в качестве A может быть взята матрица вида

$$A = U\Lambda^{1/2}W\Lambda^{\dagger/2}, \quad (1)$$

где W произвольная унитарная). В самом деле, матрица U унитарна, а смешивающая матрица A — не обязательно. Впрочем, описанный нами сейчас метод *главных компонент* (principal component analysis, РСА), несмотря на свою простоту, широко применяется для понижения размерности при статистической обработке больших массивов данных (см. напр., [15, 16, 17]) и по сей день используется для предобработки (так называемого «обеления») входных данных в большинстве методов слепого разделения сигналов.

Мы поняли, что одной некоррелированности источников для разделения источников недостаточно, и требуется использовать какие-то дополнительные средства описания их независимости. В зависимости от выбора этих средств, итоговый алгоритм можно отнести к одному из следующих семейств.

- Алгоритмы, в которых независимые компоненты выбираются в направлениях, максимизирующих степень их *негауссости*, минимизирующих меру *взаимной информации* или же максимизирующих *критерий правдоподобия* в линейном пространстве данных, возможно с дополнительными ограничениями. К этому семейству относятся алгоритмы FastICA [18], MJICA [22], SICA [21]. Обзоры можно найти в [20, 21].
- Алгоритмы, в которых дополнительная информация о независимости извлекается за счет одновременной диагонализации *нескольких* статистик и/или использовании кумулянтов высокого порядка [23, 25]. При этом первыми вычисляются не независимые компоненты, а смешивающая матрица. К этому семейству относится, например, метод JADE.

С вычислительной точки зрения различие состоит в следующем. Алгоритмы первой группы вычисляют непосредственно независимые компоненты, итерационно адаптируя *весовой вектор* w (или всю *размешивающую матрицу* W) так, чтобы функции $x_i(t) = (w_i, y(t))$ давали экстремум функционала, выбранного в качестве статистического описания независимости. Таким образом, в ходе итерационного процесса требуется хранить в памяти весь

вектор данных *целиком* и на каждом шаге вычислять на его основе градиент целевой функции. Это может быть затруднительно в том случае, если объем данных слишком велик, и они не могут одновременно присутствовать в оперативной памяти (например, если речь идет о вычислениях в реальном времени на небольшом вычислительном узле). В этом случае разделение сигналов должно происходить порциями, помещающимися в оперативную память, а уменьшение размера такой порции сказывается на статистических свойствах выборки и итоговой точности разделения.

Алгоритмы второй группы работают не с самими сигналами, а только лишь с их статистиками. Центральная составляющая этих методов — одновременная диагонализация нескольких матриц статистик, причем их число может быть и достаточно большим. Алгоритмы решения этой задачи предлагались в работах [24, 26, 27, 28]; кроме того, поскольку задача одновременной диагонализации матриц эквивалентна задаче о трилинейном разложении тензора (трехмерного массива), для решения может быть использован любой алгоритм вычисления трилинейной аппроксимации тензора, со многими из которых можно познакомиться в [29]–[36]. Однако популярность этой группы методов у инженеров-вычислителей, по всей видимости, ниже, чем методов типа FastICA. Об этом говорит как сравнительно небольшое количество отчетов об успешном использовании методов одновременной диагонализации для решения задачи BSS, так и отсутствие подобных алгоритмов в доступных пакетах библиотечных программ. Вероятно, это связано с определенными трудностями при переходе с теоретико-вероятностного или статистического языка описания на язык линейной алгебры и матричной и тензорной арифметики. Однако эти методы кажутся нам очень перспективными, в частности при разделении сигналов в «пакетном» режиме, то есть в ситуации, когда невозможно разместить весь имеющийся массив данных целиком в оперативной памяти.

В этой статье мы рассмотрим вопросы реализации алгоритмов слепого разделения сигналов в пакетном режиме. В целях связности изложения мы кратко изложим схемы типовых алгоритмов из первой и второй группы, но для упрощения изложения будем пре-

небрегать наличием шумов в модели (*).

2. Метод FastICA

Алгоритм изложен по статье [19].

2.1. Проектирование на базис главных компонент. Как показано в первом разделе, требование некоррелированности источников позволяет определить часть информации о смешивающей матрице, записав ее в виде (1) и преобразовав модель (*) к виду

$$U\Lambda^{1/2}W\Lambda^{\dagger/2}x(t) = y(t),$$

где Λ и U — собственные значения и собственные вектора матрицы корреляции Φ_y , Λ^{\dagger} — псевдообратная матрица, W — неизвестная унитарная матрица. Обратив первые два сомножителя и переобозначив $x(t) := \Lambda^{\dagger/2}z(t)$ (источники определены с точностью до множителя и порядка), получаем линейную модель с *унитарной* смешивающей матрицей

$$Wx(t) = z(t), \quad \text{где } z(t) = \Lambda^{\dagger/2}U^*y(t). \quad (2)$$

В методе FastICA унитарность смешивающей матрицы строго необходима, так как она позволяет находить независимые компоненты по-одной. Предварительное «обеление» сигналов по формуле (2) часто применяется и в других алгоритмах В88, так как оно увеличивает устойчивость решаемой задачи к шумам и ошибкам округления.

Отметим, что при вычислении псевдообратной матрицы можно считать нулевыми все диагональные элементы, меньшие некоторого порогового значения, сузив тем самым задачу с пространства, образованное линейной оболочкой сигналов, на подпространство, образованное линейной оболочкой старших компонент (сигнальное подпространство), и отфильтровав подпространство младших компонент (шумовое). Во многих приложениях, например, при анализе больших массивов схожих изображений (распознавание портретных фотографий, отпечатков пальцев) это сужение приводит к значительной экономии памяти, требуемой для хранения информации. В

финансовой математике при анализе динамики курсов акций метод РСА тоже позволяет сжать массив данных, но что еще важнее — определить количество независимых факторов, действующих на рынок. На рис. 1 показан пример задачи, в которой данные о курсах 33 акций были с относительной точностью около одного процента приближены линейной комбинацией трех главных компонент.

2.2. Критерий независимости и меры негауссовости. Некоррелированность источников теперь выполнена автоматически, и нам требуется некоторое дополнительное описание независимости для определения W . Отметим, что переход в базис главных компонент позволяет определять независимые компоненты по-отдельности.

$$x(t) = W^*z(t), \quad x_i(t) = \sum_{j=1}^m w_{ji}z_j(t) = (w_i, z(t)), \quad i = 1, \dots, n,$$

где весовой вектор w_i определяет i -й столбец матрицы W .

Полученная формула определяет независимую компоненту $x_i(t)$ как линейную комбинацию главных компонент, которые в свою очередь являются линейной комбинацией наблюдаемых сигналов. Будем рассматривать компоненты $x_i(t)$ как реализации во времени некоторых случайных величин, а $y_i(t)$ и $z_i(t)$ как линейную комбинацию (смесь) этих случайных величин. Классический результат теории вероятности — центральная предельная теорема — говорит, что функция распределения суммы двух случайных величин всегда ближе (строго говоря, не дальше) к нормальному распределению, чем функции распределения слагаемых. Отметим, что линейная комбинация главных компонент с произвольными весами w может быть представлена в виде

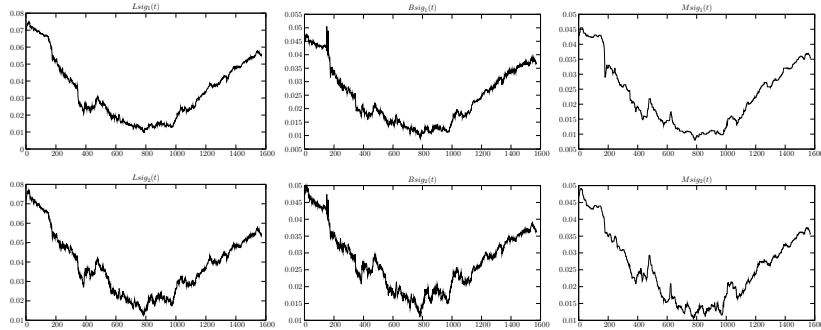
$$\xi = w^*z = w^*Wx = q^*x, \quad q = W^*w.$$

Пусть $\mathfrak{M}(\xi)$ — некоторая мера негауссовости случайной величины ξ (пока нам не важно, как именно выбирать эту меру). Максимум

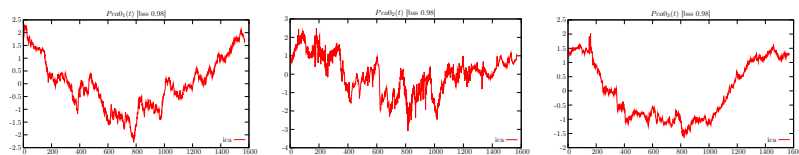
$$\mathfrak{M}(\xi) = \mathfrak{M}(q^*x) = \mathfrak{M}\left(\sum_{i=1}^n \bar{q}_i x_i\right)$$

Рис. 1. Применение метода главных компонент для понижения раз- мерности при описании курсов акций

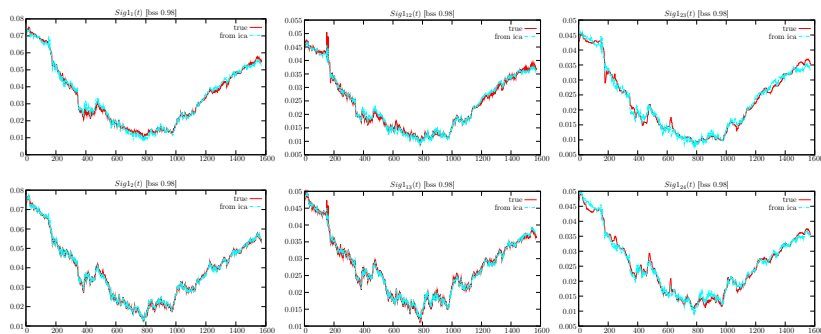
Курсы различных акций (всего 33, на рисунках 6)



Старшие главные компоненты (сигнальное пространство)



Проекции сигналов на сигнальное пространство



достигается, когда в правой части равенства стоит всего лишь одно слагаемое x_i . При этом весовой вектор как-то нормирован, например $\|w\| = 1$, а в силу унитарности матрицы W это означает, что и вектор q имеет нормировку $\|q\| = \|W^*w\| = \|w\| = 1$. Таким образом, максимум меры негауссровости для ξ достигается на векторе q , который имеет только один ненулевой (а следовательно единичный) элемент. Отсюда получаем

$$\arg \max_w \mathfrak{M}(w^*z) = W \arg \max_q \mathfrak{M}(q^*x) = We_i = w_i, \quad (3)$$

то есть весовой вектор w , доставляющий максимум меры негауссровости линейной комбинации главных компонент, является одним из столбцов матрицы W .

Итак, *ключевой идеей* метода является поиск такой линейной комбинации главных компонент $z(t)$, для которой степень негауссровости суммы максимальна. Коэффициенты этой суммы определяют столбец смешивающей матрицы W .

В качестве меры негауссровости рассматривают функции вида

$$\mathfrak{M}(\xi) = \mathfrak{M}(w^*z) = E[G(|w^*z|^2)],$$

где функция $G(\cdot)$ может подбираться исходя из особенностей конкретной задачи. Если $G(\xi) = \xi^2$, то мерой негауссровости является коэффициент эксцесса (kurtosis). Так называют статистику четвертого порядка, заданную формулой

$$\text{kurt}(y) = E[|y|^4] - E[y\bar{y}^*]E[\bar{y}y^*] - E[y\bar{y}]E[y^*\bar{y}^*] - E[y\bar{y}^*]E[y^*\bar{y}],$$

что вместе с условием независимости действительной и мнимой частей $y \in \mathbb{C}$ означает

$$\text{kurt}(y) = E[|y|^4] - 2(E[|y|^2])^2 - |E[y^2]|^2 = E[|y|^4] - 2.$$

Куртозис обращается в ноль для величин, имеющих нормальное распределение.

Эмпирически найдены и другие, часто более эффективные, выражения для функции G (ее называют функцией контраста или *контрастной функцией*). Когда мера негауссровости выбрана, строят алгоритм ее максимизации при ограничениях на w .

2.3. Максимизация контрастной функции. Максимизируем

$$\mathfrak{M}(w^*z) = E[G(|w^*z|^2)] \quad \text{при} \quad E[|w^*z|^2] = \|w\|^2 = 1.$$

Экстремум достигается в точке, где

$$\nabla E[G(|w^*z|^2)] - \beta \nabla E[|w^*z|^2] = 0.$$

Градиент вычисляется отдельно по действительным и мнимым частям w .

$$\nabla E[G(|\xi|^2)] = \begin{pmatrix} \frac{\partial}{\partial w_{1r}} \\ \frac{\partial}{\partial w_{1i}} \\ \vdots \\ \frac{\partial}{\partial w_{nr}} \\ \frac{\partial}{\partial w_{ni}} \end{pmatrix} E[G(|w^*z|^2)] = 2 \begin{pmatrix} E[\Re(z_1 \xi^*) g(|\xi|^2)] \\ E[\Im(z_1 \xi^*) g(|\xi|^2)] \\ \vdots \\ E[\Re(z_n \xi^*) g(|\xi|^2)] \\ E[\Im(z_n \xi^*) g(|\xi|^2)] \end{pmatrix},$$

где, напомним, $\xi = w^*z$. Второе слагаемое раскрывается как

$$\nabla E[|w^*z|^2] = 2 \begin{pmatrix} \Re(w_1) \\ \Im(w_1) \\ \vdots \\ \Re(w_n) \\ \Im(w_n) \end{pmatrix}$$

в силу ортогональности главных компонент $E[zz^*] = I$.

Для поиска точки экстремума мы применяем метод Ньютона. Матрица Якоби для $\nabla E[G(|w^*z|^2)]$ приближенно равна

$$\begin{aligned} \nabla^2 E[G(|w^*z|^2)] &= 2E[(\nabla^2 |w^*z|^2)g(|w^*z|^2) + \\ &\quad + 2(\nabla |w^*z|^2)(\nabla |w^*z|^2)^\top g'(|w^*z|^2)] \approx \\ &\approx 2E[g(|w^*z|^2) + |w^*z|^2 g'(|w^*z|^2)] I, \end{aligned}$$

где $g = G'$, а приближенное равенство получено разделением средних в предположении, что случайная величина и ее производная не коррелируют. Кроме того, мы воспользовались равенством $E[zz^\top] = 0$, которое следует из некоррелированности действительной и мнимой части исходных источников. Матрица Якоби для второго слагаемого равна

$$\beta \nabla^2 E[|w^*z|^2] = 2\beta I.$$

Аппроксимация всего якобиана имеет вид

$$J = 2(E[g(|w^*z|^2) + |w^*z|^2 g'(|w^*z|^2)]) - \beta I.$$

Отметим, что якобиан диагонален и аналитически обратим. Таким образом, выражение для одной итерации Ньютона

$$w^+ = w - \frac{E[z(w^*z)^* g(|w^*z|^2)] - \beta w}{E[g(|w^*z|^2) + |w^*z|^2 g'(|w^*z|^2)] - \beta}$$

$$w_{\text{new}} = w^+ / \|w^+\|.$$

Домножая обе части получившегося уравнения на знаменатель, мы получаем более простое выражение

$$w^+ = E[z(w^*z)^* g(|w^*z|^2)] - E[g(|w^*z|^2) + |w^*z|^2 g'(|w^*z|^2)]w;$$

$$w_{\text{new}} = w^+ / \|w^+\|.$$

2.4. Алгоритм FastJCA.

(0) Возьмем случайный вектор $w_{\{0\}}$ единичной нормы. Положим $k = 0$.

(1) Вычислим

$$w_{\text{new}} := E[z(w^*z)^* g(|w^*z|^2)] - E[g(|w^*z|^2) + |w^*z|^2 g'(|w^*z|^2)]w;$$

Отнормируем w_{new} на единицу.

(3) Если w_{new} достаточно близок к w

завершим алгоритм;

иначе

положим $w = w_{\text{new}}$ и вернемся на шаг 1.

В качестве меры близости весовых векторов используем угол между ними.

По завершении алгоритма w дает нам один из столбцов ортогональной смещающей матрицы W , тем самым мы определяем одну независимую компоненту $x(t)$ как скалярное произведение

$$x(t) = w^* z(t).$$

Чтобы найти другие столбцы смещающей матрицы и соответствующие независимые компоненты, воспользуемся унитарностью W . Новые столбцы лежат в ортогональном дополнении к подпространству найденных, поэтому достаточно внедрить в алгоритм шаг *ортогонализации* w_{new} к пространству уже найденных столбцов W .

- (2) Ортогонализуем найденный вектор к пространству, заданному столбцами W

$$w_{\text{new}} := (I - WW^*) w_{\text{new}}.$$

Отнормируем w_{new} на единицу.

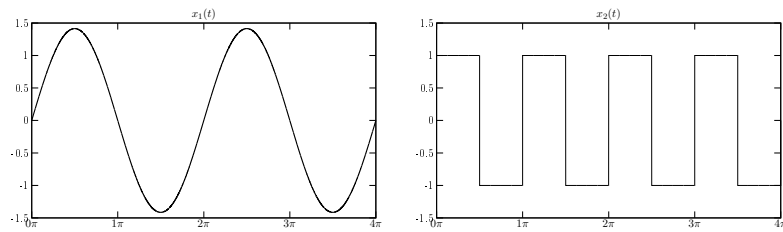
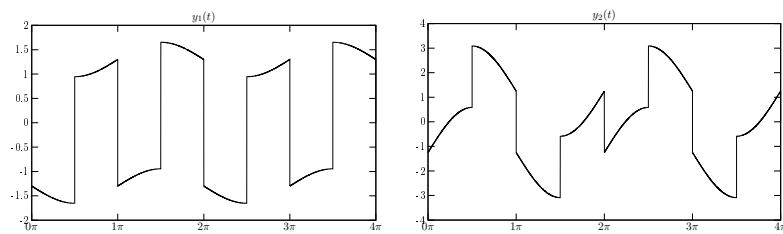
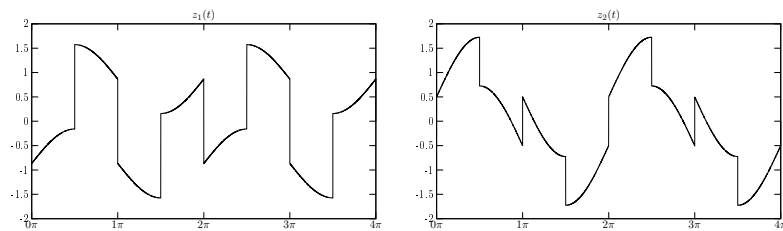
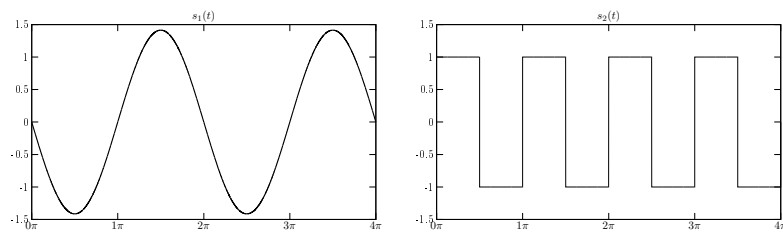
После завершения алгоритма W есть смещающая матрица, а независимые компоненты определяются как $x(t) = W^* z(t)$, где $z(t)$ — главные компоненты.

2.5. Пример. В заключении главы приведем классический пример задачи, с которой ИСА справляется лучше, чем РСА. Рассмотрим смеси двух независимых сигналов: синусоиды и прямоугольного меандра и попытаемся их разделить. Результаты эксперимента представлены на рис. 2 — без дополнительных комментариев ясно, что главные компоненты в принципе не восстанавливают источники, тогда как независимые компоненты восстанавливают их с точностью до масштаба и порядка.

3. Одновременная диагонализация многих статистик

Изложение этой главы следует логике [25].

Рис. 2. Классический пример разделения синусоиды и меандра

Источники*Сигналы (смеси источников)**Главные компоненты**Независимые компоненты FastICA*

3.1. Почему две статистики лучше, чем одна, а больше двух — еще лучше. Использования только корреляционной статистики недостаточно, поскольку задача диагонализации одной матрицы имеет не единственное решение. Однако задача одновременной диагонализации двух матриц имеет в общем случае имеет единственное решение и, что также очень важно, разработаны стандартные алгоритмы решения этой задачи — обобщенной задачи на собственные значения. Возникает идея — использовать дополнительно к корреляционной статистике Φ_y другую статистику Q_y , диагонализуемую тем же преобразованием. Тогда задача определения смещающей матрицы A из системы уравнений

$$\Phi_y = AD\Phi A^*, \quad Q_y = AD_Q A^*$$

имеет единственное решение.

Казалось бы, проблема закрыта. Тем не менее, выбрать две различные статистики оказывается не таким уж простым делом. Если Φ и Q «похожи», то точность решения обобщенной задачи на собственные значения значительно ухудшается — новая статистика на деле не приносит новой информации. Но как выбрать кросс-статистику так, чтобы она оказалась независима от первой? Априорного ответа, подходящего для всех случаев, по всей видимости, нет. Возможный в большинстве случаев ответ — взять большое число таких статистик и среди них обязательно окажется пара независимых.

В этом случае основным вычислительным ядром метода станет задача одновременного приведения к диагональному виду всех имеющихся кросс-статистик. При числе матриц более двух эта задача, вообще говоря, неразрешима. Однако в нашем случае существование решения гарантируется моделью (*). Рассмотрим задачу об одновременной диагонализации r матриц (супер-обобщенную задачу на СЗ)

$$A_k = U\Lambda_k V^\top,$$

Перепишем ее в смысле минимизации нормы отклонения

$$\|A_k - U\Lambda_k V^\top\| \rightarrow \min$$

по всем неизвестным матрицам U, V и Λ_k .

Записав эту задачу в поэлементном виде

$$a_{ij}^k = \sum_{\alpha} u_{i\alpha} \lambda_{k\alpha} v_{j\alpha},$$

видим, что она равносильна задаче представления трехмерного массива $\mathcal{A} = [a_{ijk}]$ в виде

$$a_{ijk} = \sum_{\alpha} u_{ia} v_{ja} w_{ka},$$

где столбцы матрицы W содержат элементы диагональных матриц Λ_k . Возникла задача *трилинейного разложения* трехмерного массива данных (тензора). Возможные подходы к ее решению описаны в [23, 24, 25] и [29]-[36].

3.2. Какие кросс-статистики можно использовать. Рекомендуемый метод выбора Q зависит от характеристик рассматриваемых сигналов.

3.2.1. Нестационарные сигналы. Если сигнал нестационарен, то его осреднение по различным отрезкам (окнам) времени приводит к различным статистикам

$$Q_y(t) = E_{(t:t+\Delta t)}[y(t)y^*(t)] = A E_{(t:t+\Delta t)}[x(t)x^*(t)]A^* = AQ_x(t)A^*.$$

Выбрав $Q_y = Q_y(t)$ для какого-то конкретного t , или взяв в качестве Q_y случайную линейную комбинацию $Q_y(t)$ для различных моментов t , мы получаем новую статистику. Вообще говоря, если она оказывается близка к исходной статистике Φ_y , то ее использование не дает нам новой информации, и задача поиска обобщенного собственного разложения становится плохо определенной. В этом случае можно использовать набор матриц $Q_y^k = Q_y(t_k)$ для цепочки моментов t_k и свести задачу к построению одновременной диагонализации для *всех* матриц Q_y^k .

3.2.2. Цветные сигналы. Если сигнал не является белым, то возможно использование следующей кросс-корреляцией

$$Q_y(\tau) = E[y(t)y^*(t+\tau)] = A E[y(t)y^*(t+\tau)]A^* = AQ_x(\tau)A^*.$$

Если эта автокорреляция для источника не равна нулю, то эта статистика предоставляет новую информацию при выборе одного или нескольких различных сдвигов τ .

3.2.3. Не-Гауссовые сигналы. Если сигнал является стационарным и не обладает автокорреляцией, то статистики для различных t и τ не дают новой информации. В этом случае можно воспользоваться статистикой четвертого порядка, называемой *кумулянтом*

$$(\mathcal{C}_y)_{ijkl} = E[y_i \bar{y}_j y_k \bar{y}_l] - E[y_i \bar{y}_j] E[y_k \bar{y}_l] - E[y_i y_k] E[\bar{y}_j \bar{y}_l] - E[y_i \bar{y}_l] E[\bar{y}_j y_k].$$

Кумулянт суммы независимых величин равен сумме кумулянтов. Для сигнала, имеющего нормальное распределение, кумулянт равен нулю. Поэтому при применении статистики четвертого порядка происходит автоматическая фильтрация шумов, возникающих в принимающих устройствах, или случайных погрешностей измерения, если они имеют нормальное распределение.

Статистики второго и четвертого порядка Φ_y и \mathcal{C}_y , отвечающие наблюдаемым сигналам $y(t)$, связаны со статистиками источников следующими соотношениями^{def)}

$$\Phi_y = A \Phi_x A^*, \quad \mathcal{C}_y = \mathcal{C}_x \times_1 A \times_2 \bar{A} \times_3 A \times_4 \bar{A}. \quad (4)$$

Из независимости источников следует диагональность статистик Φ_x и \mathcal{C}_x , причем второе условие означает, что тензор имеет ненулевые элементы только при $i = j = k = l$, и, очевидно, предоставляет существенно больше информации для определения A . Более того, в общем случае второе уравнение системы (4) не имеет точного решения и рассматривается в смысле минимизации нормы отклонения целевого тензора от ближайшего диагонального.

$$A = \arg \min_{B, D} \| \mathcal{C}_y - D \times_1 B \times_2 \bar{B} \times_3 B \times_4 \bar{B} \| \quad (\text{diag})$$

Решив задачу в этой формулировке, можно даже получить *сверхразрешение*, то есть выделить из n наблюдаемых смесей m исход-

^{def)} Тут символом « \times_p » обозначено умножение тензора на матрицу вдоль p -го индекса. Например для тензора $A = [a_{ijkl}]$ размера $n \times n \times n \times n$ и матрицы B размера $m \times n$ результатом операции « \times_2 » является тензор $C = [c_{ijkl}]$ размера $n \times m \times n \times n$, поиндексно определенный равенством

$$c_{ijkl} = \sum_{j'=1}^n a_{ij'kl} b_{jj'}.$$

ных независимых компонент при $m > n$. Однако алгоритм решения оказывается в несколько раз сложнее, чем метод одновременной диагонализации матриц. Есть возможность пожертвовать сверхразрешением и свести задачу к более простой. Для этого рассмотрим тензор \mathcal{C}_z размера $m \times m \times m \times m$, как семейство из m^2 матриц, объединив последние два индекса в один

$$\tilde{\mathcal{C}} = [(c_{ij})_\alpha] = (\mathcal{C}_z)_{ij(kl)}, \quad (kl) \leftrightarrow \alpha.$$

Заменим задачу суперсимметричной диагонализации четырехмерного тензора \mathcal{C} более простой задачей одновременной диагонализации семейства m^2 матриц C_α . На языке тензорных операций это означает, что вместо задачи (diag) мы рассматриваем

$$A = \arg \min_{B, Q, D} \|\tilde{\mathcal{C}} - D \times_1 B \times_2 \bar{B} \times_3 Q\| \quad (\text{diag}')$$

очевидно, накладывающую ослабленные требования на A , поскольку мы пренебрегаем структурой матрицы Q и «забываем» о ее связи с B . Новая задача имеет единственное решение, однако только при числе источников не больше числа приемников.

4. Реализация алгоритмов BSS в пакетном режиме

4.1. Требования к пакетной версии алгоритмов. Под работой алгоритмов в пакетном режиме мы понимаем следующее. Пусть общая протяженность принятых сигналов T_{full} но в вычислительную систему для обработки они поступают N пакетами длины T (для простоты изложения будем полагать, что длины всех пакетов одинаковы — даже если это не так, суть метода не меняется). Эта модель работы с данными может потребоваться по одной из следующих причин.

- Нет возможности ждать достаточно долго, пока весь сигнал длины T_{full} будет принят. Напротив, требуется получить предварительные данные о сигналах как можно быстрее (пусть и со значительной погрешностью, вызванной малой длиной накопленной информации), и затем только уточнять их по новым фрагментам полученных сигналов.

- Оперативной памяти вычислительного устройства и/или его вычислительной мощности может быть недостаточно для запуска алгоритма разделения сигналов длины T_{full} . При этом требуется принудительно расщепить рассматриваемый сигнал на несколько меньших частей, которые могут быть обработаны на имеющемся вычислительном устройстве, и работать с ними последовательно.
- В условиях реальных вычислений положение источников и/или приемников и/или состояние среды, в которой распространяется сигнал, могут меняться. Даже если эти изменения достаточно медленные, они оказывают влияние на смешивающую матрицу и точность выполнения основной линейной модели (*). В этом случае нет смысла использовать всю информацию о сигнале длины T_{full} , так как нарушение линейной модели вносит неустранимую погрешность в результат работы алгоритма. Необходимо оперировать отрезками сигнала длины T , такими что на протяжении этого времени состояние системы и следовательно элементы смешивающей матрицы A могут с удовлетворительной точностью считаться постоянными.

При реализации алгоритмов слепого разделения сигналов в пакетном режиме (будем называть их пакетными версиями алгоритмов или кратко *пакетными алгоритмами*) мы хотели бы по возможности добиться выполнения следующих условий.

- **Накопление информации.** После того, как пакетный алгоритм получил N пакетов данных длины T , точность разделения сигналов должна быть такой же, как и у исходного алгоритма, обработавшего сигнал длиной $T_{full} = NT$.
- **Сохранение устойчивости.** Если при обработке какого-то из полученных пакетов пакетный алгоритм не достигает сходимости (или не завершается корректно по любой иной причине), это не должно останавливать алгоритм в целом. Текущий пакет данных должен быть разделен с использованием размещающей матрицы W с прошлого шага, и алгоритм должен быть продолжен.

- **Связность результата.** Поскольку источники определяются с точностью до множителя и порядка, алгоритм в пакетной версии должен позаботиться о том, чтобы разделенные сигналы в двух соседних пакетах были *сшиты*, то есть на границе раздела пакетов не наблюдалось скачка амплитуды, фазы источников или перестановки выдаваемых фрагментов источников местами.

В следующих разделах мы покажем, для каких методов можно добиться выполнения указанных требований.

4.2. Почему алгоритм FastICA не накапливает информацию. Алгоритм FastICA (и родственные ему) вычисляет размешивающую матрицу W , решая экстремальную задачу относительно меры $\mathfrak{M}(w^*z(t))$. Предположим, что передача ведется двумя пакетами по T элементов в каждом. Получив первый пакет $y^{[1]}(t)$, мы переходим в базис главных компонент $z^{[1]}(t)$ и применяя алгоритм FastICA, находим текущее приближение к смешивающей матрице $W^{(1)}$. Однако после получения второго пакета $y^{[2]}$ (и что важно, потеряв вектора $y^{[1]}(t)$ и $z^{[1]}(t)$), мы не можем максимизировать

$$\mathfrak{M}(w^*z(t)) = \mathfrak{M}(w^*z^{[1]}(t)) + \mathfrak{M}(w^*z^{[2]}(t)),$$

поскольку не можем вычислить первое слагаемое для произвольного w . Если отдельно максимизировать только второе слагаемое, точность определения матрицы $W^{(2)}$ на втором этапе пакетного алгоритма окажется не выше, чем на первом шаге — поступившая новая информация не позволяет уточнить элементы смешивающей матрицы. В этом смысле мы говорим, что не существует пакетной версии алгоритма FastICA, накапливающей информацию в ходе работы.

Тем не менее, метод FastICA может быть полезен, особенно в случае, когда используемый размер пакетов достаточно велик, а стабильность матрицы A при переходе от пакета к пакету вызывает сомнения.

В следующих разделах мы покажем, что методы, основанные на диагонализации различных статистик принятых сигналов, обладают приятным свойством накопления информации, и построим соответствующие пакетные алгоритмы.

4.3. Пакетная версия метода главных компонент. В отличие от методов типа FastICA, алгоритм PCA допускает пакетную реализацию. Принципиальным является тот факт, что статистики, в отличие от меры $\mathcal{M}(w^*z(t))$, не зависят от определяемых величин и могут аддитивно обновляться в ходе работы пакетного метода. Для вычисления статистики на «большом» отрезке времени (например на полной длине приема T_{full}) нам достаточно просуммировать с некоторыми коэффициентами статистики с «малых» фрагментов времени (например статистики по пакетам длины T). При этом коэффициенты зависят, естественно, от длин соответствующих статистик и от номера принятого пакета. Например, если уже насчитана статистика

$$\Phi_y^{(k)} := E[y(t)y^*(t)]_{[0:kT]},$$

то статистика $\Phi_y^{(k+1)}$ на следующем шаге пакетного алгоритма определится как

$$\begin{aligned}\Phi_y^{(k+1)} &:= \frac{k}{k+1}\Phi_y^{(k)} + \frac{1}{k+1}E[y(t)y^*(t)]_{[kT:(k+1)T]} = \\ &= \frac{k}{k+1}\Phi_y^{(k)} + \frac{1}{k+1}E[y^{[k+1]}(t)y^{[k+1]}(t)^*].\end{aligned}$$

4.4. Обновление статистик для сигналов. Простой по существу метод обновления статистики, предложенный для PCA, можно обобщить, сформулировав процедуру следующим образом.

Алгоритм 1. (*Обновление статистики $\Psi_y = E[G(y)]$*).

1. Получить $y^{[1]}$. Вычислить $\Psi_y^{(1)}$.

...

k. Получить $y^{[k]}$. Вычислить статистику $E[G(y^{[k]})]$ на текущем отрезке времени. Вычислить $\Psi_y^{(k)}$ по формуле

$$\Psi_y^{(k)} = \alpha_k \Psi_y^{(k-1)} + (1 - \alpha_k) E[G(y^{[k])}] \quad (5)$$

В зависимости от схемы выбора α_k алгоритм обновления может трактоваться различным образом.

- $\alpha_k = 0$ — модель абсолютно неустойчивой среды. Данные с прошлых шагов не используются, разделение ведется по каждому новому пакету независимо от информации о предыдущих.
- $\alpha_k = \frac{k-1}{k}$ — модель устойчивой среды, уточнение размешивающей матрицы на каждом шаге. Происходит точное обновление статистик, полученная $\Psi^{(k)}$ совпадает с усреднением за период $[0 : kT]$. За счет этого на каждом шаге уменьшается статистическая погрешность, вносимая конечным размером выборки, и повышается точность вычислений смешивающей матрицы — конечно, если искомая смешивающая не меняется на протяжении k полученных пакетов.
- $\alpha_k = 1$ — модель устойчивой среды, быстрое размешивание. Новая информация не используется, статистики (а вместе с ними и размешивающая матрица) копируются с первого этапа. Предполагается, что смешивающая матрица не меняется, и размера статистики на первой выборке длины T достаточно для восстановления размешивающей матрицы с необходимой точностью. Достоинство этой модели в очень быстром выполнении алгоритма на втором и последующих этапах — по сути, происходит только лишь умножение нового пакета сигналов на размешивающую матрицу, взятую с первого этапа.

Все три схемы выбора α_k хороши в рамках своей модели и имеют свои достоинства. Безусловно, возможны и другие схемы выбора параметра α_k , отвечающие иным предположениям об скорости изменения элементов смешивающей матрицы. Как видно из рассмотренных примеров, выбор α_k оказывает огромное влияние на работу и результаты алгоритма; тем не менее, мы не можем предложить какой-то одной, «действительно наилучшей» стратегии выбора α_k . Мы полагаем, что этот вопрос может решаться следующими способами:

- аналитически — при известной степени неустойчивости смешивающей матрицы, когда хорошо известны характеристики принимаемых сигналов;

- эмпирически — при работе в режиме «лаборатории», когда мы имеем дело с записанными сигналами, не знаем степень устойчивости среды во время их получения, но можем провести серию воспроизводимых экспериментов с разными параметрами α_k , имея на них проведение достаточно большое время;
- решением оператора — когда характеристики устойчивости среды и принимаемых сигналов неясны, а принимаемый сигнал должен обрабатываться практически в режиме реального времени. В этом случае имеет смысл придерживаться стратегии накопления информации $\alpha_k = (k-1)/k$ столь долго, пока качество разделения источников выглядит удовлетворительным и не ухудшается с каждым новым пакетом данных. Если качество разделения ухудшается (разделенные источники хуже декодируются или прослушиваются), следует «очистить историю», установив $\alpha_k = 0$ и начать накопление данных заново.

4.5. Алгоритмы в пакетном режиме. Все вышесказанное подготовило почву для того, чтобы изложить пакетные версии *всех* алгоритмов, использующих статистики сигналов, в единообразном виде.

Алгоритм 2. (Прототип пакетного алгоритма)

Вход: пакеты сигналов $y^{[k]}$, $k = 1, \dots, N$.

Выход: пакеты источников $x^{[k]}$ и смешивающая матрица.

Параметры: статистики $\Psi_y = E[G_p(y)]$, $p = 1, \dots, n_p$, схема выбора параметров α_k .

[Описан k -тый шаг алгоритма]

- Получить $y^{[k]}$.
- Вычислить статистики $E[G_p(y^{[k]})]$ на текущем отрезке времени.
- Обновить их по формуле (5) с помощью выбранных α_k .
- Запустить алгоритм слепого разделения сигналов по статистике $\Psi_y^{(k)}$. Найти размешивающую матрицу $W^{(k-1)}$

- Разделить источники $x^{[k]} = W^{(k)} y_{(k)}$.
- «Склейте» источники $x^{[k]}$ с предыдущими пакетами $x^{[k-1]}$.

Последний этап нами пока не обсуждался, а между тем именно он обеспечивает выполнение третьего требования к пакетной версии алгоритмов — связности результата. Посвятим ему отдельный раздел.

4.6. Поддержание связности. «Разрыв» может возникать по двум причинам:

- после получения нового пакета данных активная смешивающая матрица изменилась так, что источники поменялись местами;
- после получения нового пакета данных амплитуда и фаза источников поменялась так, что наблюдается скачок на границе разделя пакетов.

Для решения первой проблемы — перестановки сигналов — можно предложить два способа. Первый состоит в том, что рассматриваются две матрицы: размешивающая с прошлого шага и смешивающая с текущего. Их произведение

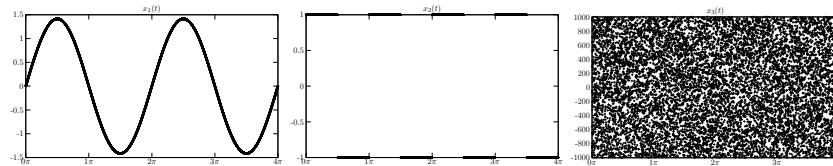
$$W^{[k-1]} A^{[k]} = P_k$$

должно быть близко к масштабированной матрице перестановки, если только смешивающая матрица не меняется слишком сильно на отрезке времени порядка размера пакета. Эта матрица и указывает, как нужно упорядочить новые пакеты источников по отношению к имеющимся. Есть и другой подход, возможно, более точный, который состоит в том, чтобы рассматривать пакеты данных с некоторым небольшим наложением. Сохранив это небольшое количество элементов из прошлого пакета источников, мы можем подобрать коэффициенты масштабирования так, чтобы получить наилучшее совпадение фрагмента источников из прошлого и текущего пакетов в их области наложения. Однако этот метод в известном смысле усложняет логику программы.

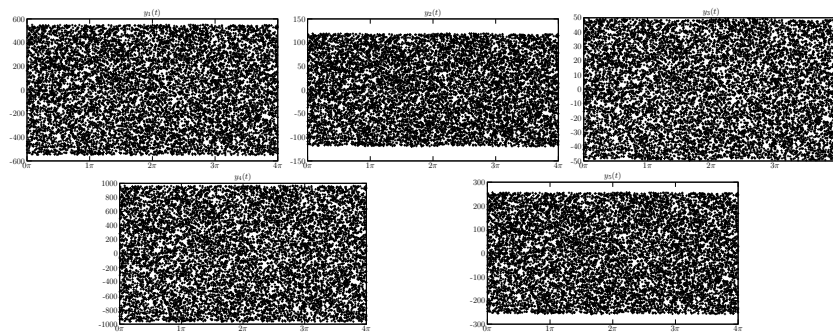
Рис. 3. Два сигнала и сильный шумовой источник

Смешиваем синусоидальный сигнал единичной нормы, прямоугольный меандр и шум порядка 10^3 .

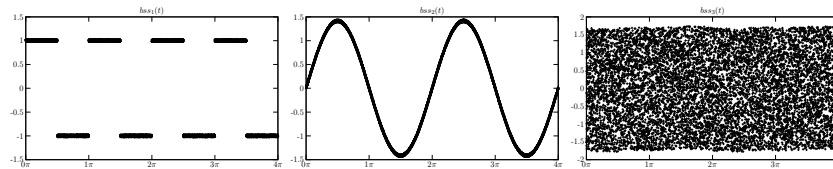
Размер выборки большой $l = 10^4$ отсчетов



Компоненты смеси выглядят, как шум



Тем не менее, метод BSS позволяет выделить источники из смеси



На выборке $l = 100$ точность вычислений ниже

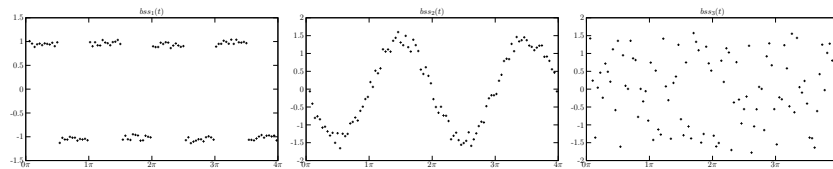
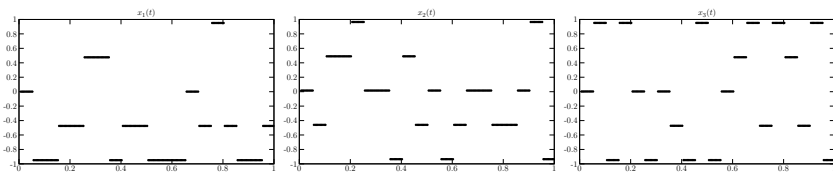
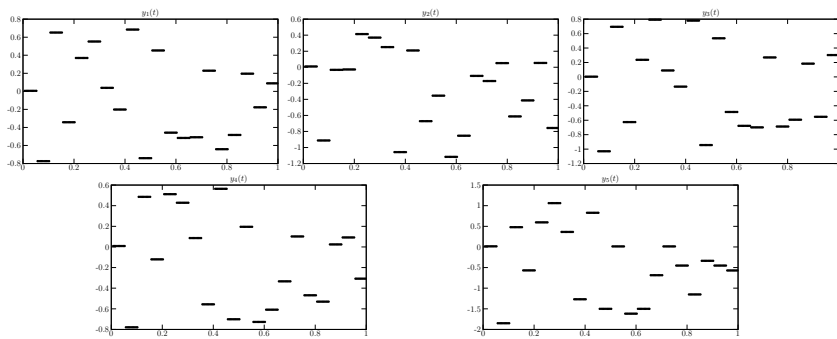


Рис. 4. Три сигнала с модуляцией типа qpsk

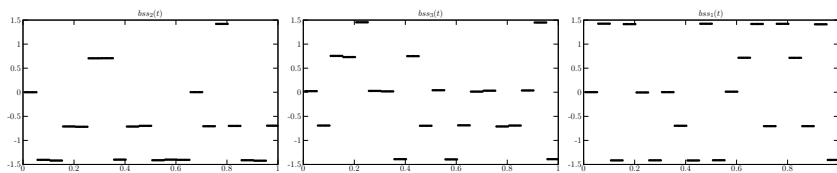
*Смешиваем три дискретных четырехпозиционных сигнала.
Размер выборки большой $l = 10^4$ отсчетов*



Компоненты смеси выглядят достаточно сложно



Тем не менее, разделение сигналов происходит удачно



5. Примеры

Рассмотрим несколько простых примеров разделения сигналов для иллюстрации возможностей метода BSS. На рисунке 3 показан эксперимент по выделению сигналов из-под сильного шумового источника. В качестве сигналов взяты традиционные синусоиды и прямоугольный меандр. Обратите внимание, что при разделении сигналов на малой выборке точность определения компонент значительно снижается.

На рисунке 4 показано разделение нескольких сигналов в модуляцией типа QPSK. Модуляция QPSK кодирует информацию, устанавливая фазу передаваемого сигнала в одну из четырех позиций. На рисунках — аналог этих сигналов в действительной арифметике, более удобный для графического отображения. Видим, что задача о разделении смеси трех кодированных сигналов может быть с успехом решена описанными методами BSS. На практике она возникает при передачи информации в MIMO каналах, например, в новых стандартах сотовой связи.

Список литературы

- [1] Cherry E. C. Some experiments on the recognition of speech, with one and with two ears // *Journal of Acoustical Society of America*. 1953. V 25(5). P. 975–979.
- [2] Hämäläinen M., Hari R., Ilmoniemi R., Knuutila J. and Lounasmaa O.V. Magnetoencephalography — theory, instrumentation, and applications to noninvasive studies of signal processing in the human brain // *Reviews of Modern Physics*. 1993. V. 65. P. 413–497.
- [3] De Lathauwer L., De Moor B., Vandewalle J. Fetal electrocardiogram extraction by source subspace separation ss *Proc. of IEEE Signal Processing / Athos Workshop on Higher-Order Statistics*, Girona, Spain. 1995. P. 134-138.
- [4] Vigário R. N. Extraction of ocular artifacts from EEG using independent component analysis // *Electroenceph. clin. Neurophysiol.* 1997. V. 103. P. 395–404.

- [5] Vigário R., Särelä J., and Oja E. Independent component analysis in wave decomposition of auditory evoked fields // *Proc. Int. Conf. on Artificial Neural Networks (ICANN'98)* 1998. P. 287–292.
- [6] Lei Xie, Jun Wu. Global optimal ICA and its application in MEG data analysis. // *Neurocomputing*. 2006. V. 69. P. 2438–2442.
- [7] B. Chen and A. P. Petropulu. Frequency domain MIMO system identification based on second and higher-order statistics // *IEEE Trans. Signal Processing*. 2001. V. 49, №8. P. 1677–1688.
- [8] De Lathauwer L., Comon P., De Moor B., Vandewalle J. ICA algorithms for 3 sources and 2 sensors // *Proc. of the IEEE Signal Processing Workshop on Higher-Order Statistics (HOS'99)*, Caesarea, Israel. 1999. P. 116–120.
- [9] De Lathauwer L., De Moor B., Vandewalle J. An algebraic approach to blind MIMO identification // *Proc. of the 2nd Int. Workshop on independent component analysis and blind source separation (ICA 2000)*, Helsinki, Finland. 2000. P. 211–214.
- [10] R. Bro. Review on Multiway Analysis in Chemistry — 2000–2005. // *Analytical Chemistry*. 2006. V. 36. P. 279.
- [11] Back A. D., Weigend, A.S. What drives stock returns? — An independent component analysis // *Proc. of the IEEE/IAFE/INFORMS Conf. on Comp. Intelligence for Financial Engineering (CIFEr)*. 1998. P. 141–156.
- [12] Moody J., Howard, Y. Term structure of interactions of foreign exchange rates // *Computational Finance — Proc. of the 6th Int'l Conf.* 1999. P. 24–35.
- [13] Draper B. A., Baek K., Bartlett M. S., Beveridge J. R. Recognizing faces with PCA and ICA // *CVIU(91)*, 2003. №1-2. P. 115–137.
- [14] Jongsun Kim, Jongmoo Choi, Yuneho Yi. Biometric Authentication — Springer Berlin, 2004.

- [15] Hotelling H. Analysis of a Complex of Statistical Variables with Principal Components // *Journal of Educational Psychology*. 1933. V. 24. P. 417–441.
- [16] Tetsuo Sato. Application of principal-component analysis on near-infrared spectroscopic data of vegetable oils for their classification // *Journal of the American Oil Chemists' Society*. 1994. V. 71, №3. P. 293–298.
- [17] Aiyyi Liu, Ying Zhang, Gehan E., Clarke R. Block principal component analysis with application to gene microarray data classification // *Statistics in Medicine*. 2002. V. 21. P. 3465–3474.
- [18] Hyvärinen A. Fast and robust fixed-point algorithm for independent component analysis // *IEEE Trans. on Neural Network*. 1999. V. 10, №3. P. 626-634.
- [19] E. Bingham and A. Hyvärinen. A fast fixed-point algorithm for independent component analysis of complex-valued signals. // *Int. J. of Neural Systems*. 2000. V. 10, №1. P. 1–8.
- [20] Comon P. Independent Component Analysis, a new concept? // *Signal Processing, Elsevier*. 1994. V. 36, №3. P. 287–314.
- [21] Hyvärinen A., Erkki Oja. Independent Component Analysis: Algorithms and Applications // *NEural Networks*. 2000. V. 13, №4-5. P. 411-430.
- [22] Stogbauer H., Kraskov A., Astakhov S. A., Grassberger P. Least Dependent Component Analysis Based on Mutual Information // *Phys. Rev.* 2004. E 70, 066123.
- [23] Cardoso J.-F., Souloumatic A. Blind beamforming for non Gaussian signals // *IEE Proc.-F*. 1993. V. 140, №6. P. 362–370.
- [24] Cardoso J.-F., Souloumatic A. Jacobi angles for simultaneous diagonalisation // *SIAM J. Mat. Anal. Appl.* 1996. V. 17 №1. P. 161–164.

- [25] Parra L., Sajda P. Blind Source Separation via Generalized Eigenvalue Decomposition // *J. of Machine Learning Research*. 2003. V. 4. P. 1261–1269.
- [26] De Lathauwer L., De Moor B., Vanderwalle J. Computation of the canonical decomposition by means of a simultaneous generalized Schur decomposition // *SIAM J. Matrix Anal. Appl.* 2004. V. 26. P. 295–227.
- [27] Ziehe A., Laskov P., Müller K.-R., Nolte G. A linear least-squares algorithm for joint diagonalization // *Proc. 4th Intern. Symp. on Independent Component Analysis and Blind Signal Separation (ICA2003)*. 2003. P. 469–474.
- [28] Ziehe A., Kawanabe M., Hamerling S., Müller K.-R. A fast algorithm for joint diagonalization with non-orthogonal transformations and its application to blind source separation // *Journal of Machine Learning Research*. 2004. V. 5. P. 801–818.
- [29] Оседец И.В., Савостьянов Д.В. Методы разложения тензора // *Матричные методы и технологии решения больших задач Сб. под ред. Е. Е. Тыртышникова* С. 51–64.
- [30] Оседец И.В., Савостьянов Д.В. Трехмерный аналог алгоритма крестовой аппроксимации и его эффективная реализация // *Матричные методы и технологии решения больших задач Сб. под ред. Е. Е. Тыртышникова* — ИВМ РАН, 2005. С. 65–99.
- [31] Оседец И.В., Савостьянов Д.В. Быстрый алгоритм для одновременного приведения матриц к треугольному виду и аппроксимации тензоров // *Матричные методы и технологии решения больших задач Сб. под ред. Е. Е. Тыртышникова* — ИВМ РАН, 2005. С. 101–116.
- [32] Оседец И.В., Савостьянов Д.В. Об одном алгоритме построения трилинейного разложения // *Матричные методы и технологии решения больших задач Сб. под ред. Е. Е. Тыртышникова* — ИВМ РАН, 2005. С. 117–130.

- [33] Оседец И.В., Савостьянов Д.В. Минимизационные методы аппроксимации тензоров и их сравнение // ЖВМиМФ. 2006. Т. 46, №10. С. 1641-1650.
- [34] Oseledets I. V., Savostianov D. V., Tyrtyshnikov E. E. Tucker dimensionality reduction of three-dimensional arrays in linear time // SIMAX, принято к публикации.
- [35] Oseledets I. V., Savostianov D. V., Tyrtyshnikov E. E. Fast simultaneous orthogonal reduction to triangular matrices. // SIMAX, принято к публикации.
- [36] Савостьянов Д. В. Быстрая полилинейная аппроксимация матриц и интегральные уравнения Дисс. на степ. к.ф.-м.н. — ИВМ РАН, Москва, 2006.